

高精度振動数推定システムの開発と遠隔計測への適用

長崎大学大学院 学生会員 ○増田 大樹 長崎大学工学部 フェロー 岡林 隆敏
長崎大学工学部 正会員 奥松 俊博 長崎大学工学部 学生会員 要谷 貴則

1. はじめに

構造物に損傷が発生した場合、剛性の低下に伴い構造物の固有振動数は低下する傾向がある。この振動数の変化をモニタリングすることで、構造物の損傷を逆探知することができると考えられる。しかし、そのためには、微小な振動数変化を検出することのできる高精度なモニタリングシステムが必要となる。

本研究では、ARモデルによる構造同定アルゴリズム¹⁾を組込んだ高精度振動数自動推定システムを開発し、さらに、移動体通信を利用した遠隔計測への適用を図った。

2. モニタリングシステムの概要

1) モニタリングシステムの構成

本システムは、図-1のような構成になっており、計測用PCとモニタリング用PCが計測と解析を分担する。計測現場の計測用PCは構造物の常時微動を計測し、そのデータを送信する。モニタリング用PCは、受信したデータをもとに解析を行い、構造物の固有振動数を算出する。したがって、観測者は、計測現場を訪れることなく構造物の健全度をほぼリアルタイムで診断することができる。システムのモニタリング画面を図-2に示す。

2) 遠隔計測への適用

近年、ネットワーク機器の通信速度、通信距離が向上したこと、安価なネットワーク構成が可能となった。本システムでは、移動体通信や無線LANなど種々の通信機器を利用し、構造物の遠隔計測を実現している。使用する通信機器は、計測現場周辺の環境と観測地点までの距離を考慮して決定する。

3) 高精度振動数自動推定のアルゴリズム

モニタリング用PCにおける解析の流れを図-3に示す。モニタリング用PCでは、主に、①不規則外力からARモデルを構成し、②構造物の特性と考えられる複素固有値の抽出、といった処理を自動的に実行する。構造系に白色外力系を入力とする外力が作用すると考えて、ARモデルを構成する。ARモデルは、

$$y(k) + \sum_{s=1}^n a_s y(k-s) = e(k) \cdots (1)$$

で表され、特性方程式とその根は

$$z^n - a_1 z^{n-1} - a_2 z^{n-2} - \dots - a_n = 0 \cdots (2)$$

$$z_k = X_{\text{Re}}^k + iX_{\text{Im}}^k \cdots (3)$$

となる。この根と振動パラメータの関係が

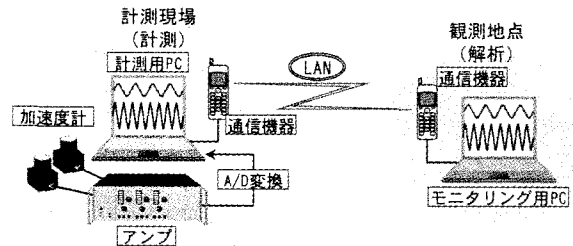


図-1 モニタリングシステムの概要

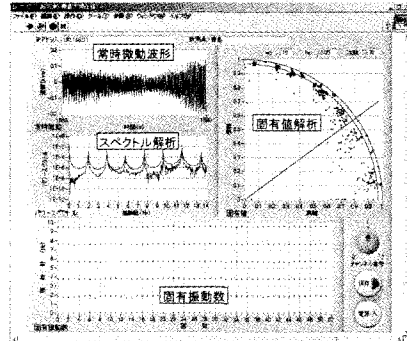


図-2 モニタリング画面

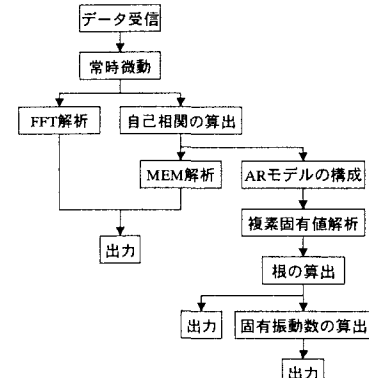


図-3 解析の流れ

$$h_k \omega_k = (-1/\Delta) \log \sqrt{X_{\text{Re}}^2 + X_{\text{Im}}^2} \cdots (4)$$

$$\omega_k \sqrt{1-h_k^2} = (1/\Delta) \tan^{-1}(X_{\text{Im}} / X_{\text{Re}}) \cdots (5)$$

となることから、振動数 ω_k と減衰定数 h_k が推定できる。ここで、 $e(t)$ は白色雑音過程、 Δ は推定データのサンプリング時間である。求められた複素固有値の中から、繰り返し推定して、変動のない固有値を構造物に対応する固有振動数として抽出する。

4) システムを構成するプログラム

本システム内の計測、通信、解析に関連するプログラムは、仮想計測器ソフトウェア LabVIEW によって作成しており、計測を開始してから固有振動数を算出するまでのすべての工程を自動化している。

3. 計測実験

本システムの有効性を検証するために、実橋梁に適用した遠隔モニタリング実験を行った。対象橋梁は長崎県野母崎町に架設されているランガートラス橋、樺島大橋である。モニタリング用 PC は長崎大学内の研究室に設置した。図-4 に樺島大橋の諸元および計測点を、図-5 に樺島大橋と長崎大学の位置関係を示す。計測現場とモニタリング用 PC との通信距離が約 30km で広域になることから、携帯電話を使用してデータ通信を行う。橋梁の常時微動はサーボ型速度計 VSE-15A (東京測振) で検出し、速度計用増幅器 AV-200-3PD (東京測振) で増幅した信号を A/D 変換した後、計測用 PC に収録する。モニタリング用 PC は、30 秒毎に固有振動数を算出するようにプログラムしており、合計 70 回の解析を行った。計測機器の構成を図-6 に示す。

4. 実験結果

図-7 に示しているのは、65 回目のスペクトル解析の結果である。これを図-8 に示している固有振動数と比較してみると、両者がほぼ一致していることがわかる。このような一致は、65 回目だけに限らずデータ全体において確認することができた。この結果から、本システムによって、樺島大橋の固有振動数を遠隔地から計測することができたといえる。表-1 に振動数の平均値と標準偏差を示す。

5. まとめ

本研究では、構造物の常時微動から固有振動数を高精度に自動推定することのできるモニタリングシステムを開発し、遠隔計測への適用を図った。また、本システムを樺島大橋に適用した遠隔モニタリング実験を行い、実験結果からシステムの有効性を検証した。

[参考文献]1) 木村、岡林、奥松、中宮：高精度振動特性推定法による道路橋損傷の検出可能性の検討、土木学会第 58 回年次学術講演概要 第 I 部門、pp.1279-1280 (平成 15 年 9 月)

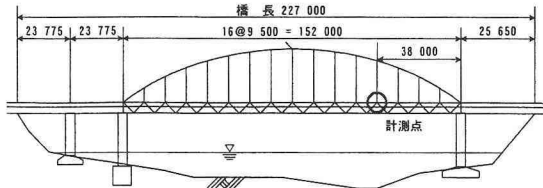


図-4 樺島大橋の諸元



図-5 位置関係

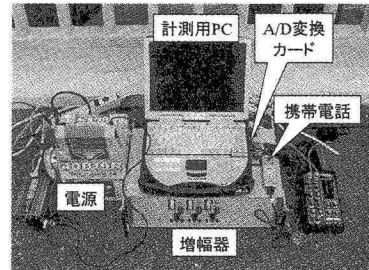


図-6 計測機器の構成

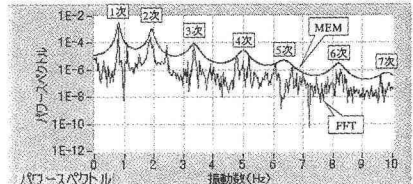


図-7 スペクトル解析

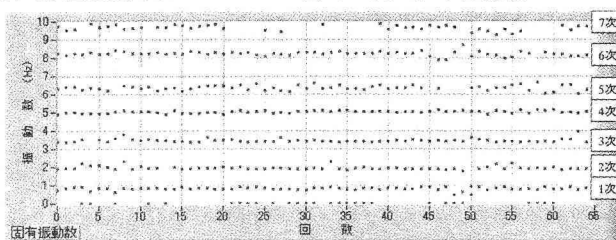


図-8 樺島大橋の固有振動数

表-1 平均振動数と標準偏差

単位:Hz	1次	2次	3次	4次	5次	6次	7次
平均振動数	0.807	1.965	3.503	5.075	6.564	8.381	9.639
標準偏差	0.075	0.107	0.094	0.068	0.132	0.119	0.149